

DE LA RECHERCHE À L'INDUSTRIE



Simulation de détermination  
de l'espace de phase du faisceau  
par la méthode de variation des gradients  
dans l'accélérateur prototype d'IFMIF

Séminaire SACM | Romain Scherer

Tuteur P.A.P Nghiem

31 AOÛT 2012

Linear Prototype IFMIF accelerator (LIPAc)	P.03
Méthode de variation des gradients (état de l'art)	P.07
Description paramétrique du faisceau	P.11
Méthode de variation des gradients (améliorée)	P.15
Modélisation du faisceau (1 <sup>ère</sup> méthode)	P.18
Etude des paramètres et optimisation	P.23
Modélisation du faisceau (2 <sup>ème</sup> méthode)	P.28

**LE LIPAc**

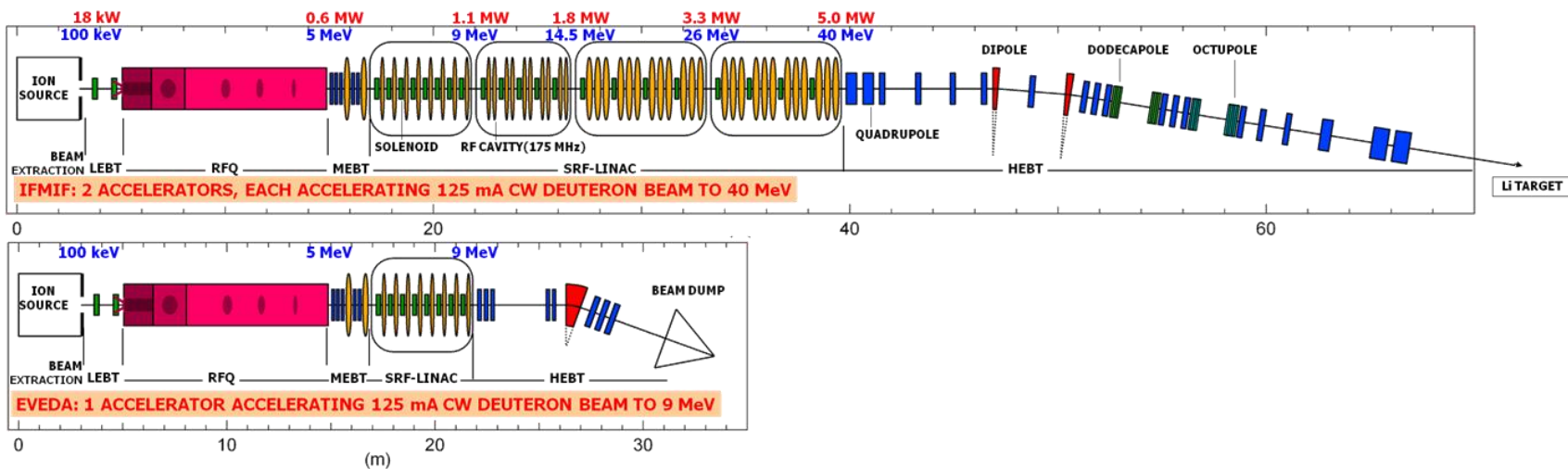
■ Caractéristiques nominales du faisceau :

### IFMIF

- 125 mA
- 40 MeV
- 5 MW

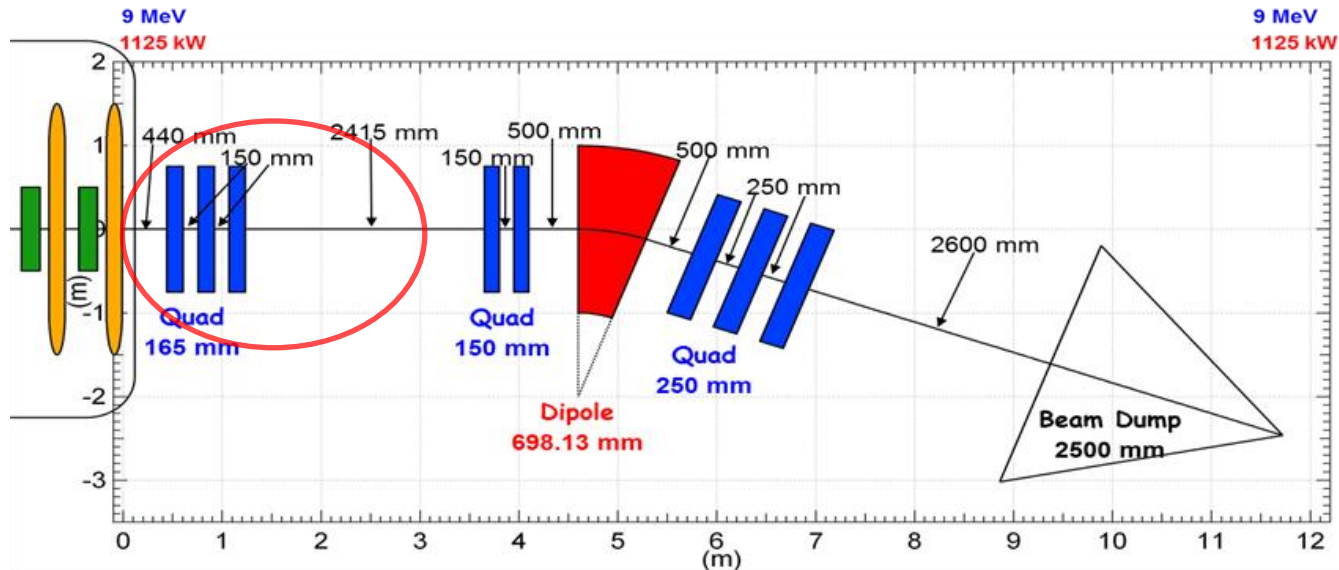
### LIPAc

- 125 mA
- 9 MeV
- 1,1 MW



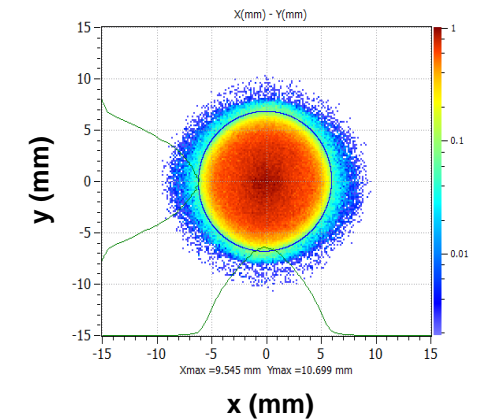
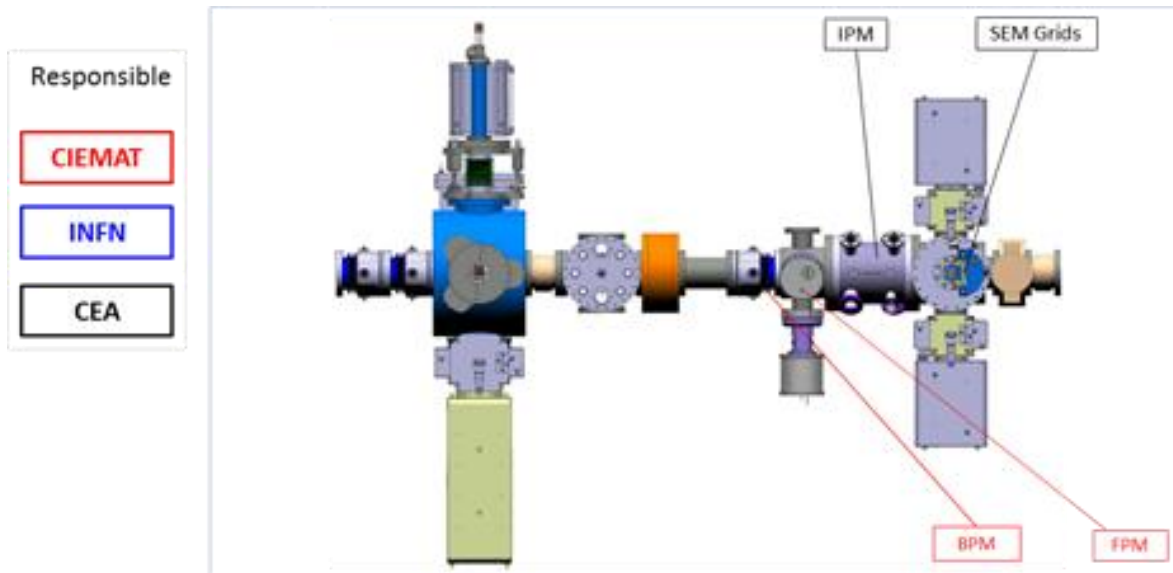
## La ligne HEBT

- Etude réalisée de 0 à 3m
- Faisceau :
  - 125 mA
  - 9 MeV
  - 1,1 MW



## D-Plate (Diagnostics Plate)

- Mesure du profil du faisceau :
  - IPM (Ionization Profile Monitor)
  - FPM (Fluorescence Profile Monitor)



Profil faisceau mesuré

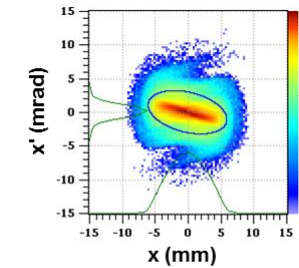
# **METHODE DE VARIATION DES GRADIENTS (ETAT DE L'ART)**

# METHODE DE VARIATION DES GRADIENTS (ETAT DE L'ART)

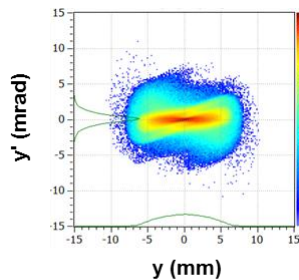
- Possible avec la puissance nominale du faisceau
- Sans interception
- Permet de décrire le faisceau dans l'espace de phase à 4D



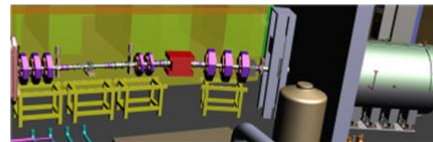
Méthode de variation des gradients



Distribution inconnue  
>Paramètres d'entrée

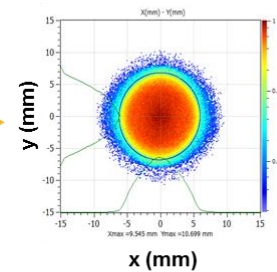


Distribution inconnue  
>Paramètres d'entrée



Variation de G sur l'accélérateur

Minimum 3 Gradients



Profil faisceau mesuré

2 Paramètres mesurés  $\sigma_x, \sigma_y$   
par Gradient

6 Paramètres de Twiss à déterminer  $\alpha, \beta, \varepsilon$



# METHODE DE VARIATION DES GRADIENTS (ETAT DE L'ART)

## ■ Contrainte :

Cas fortement non linéaire car la charge d'espace est prépondérante.  
Les équations du transport deviennent non linéaires.  
La méthode d'inversion matricielle n'est pas satisfaisante.

## ■ Solution :

- Utilisation d'un code de transport multiparticule, TraceWin.
- Développement d'un code d'optimisation.



« inversion numérique » (au lieu d'une inversion matricielle)



### Charge d'espace :

Ensemble des charges des ions de même signe se repoussant entre eux.  
Opposée aux forces de focalisation.

## ■ Contrainte :

Les paramètres de Twiss ne suffisent pas à décrire le faisceau lors d'un transport non linéaire

## ■ Solution :

- Décrire le faisceau avec plus de paramètres
- Limitation du nombre de paramètres pour l'algorithme d'inversion

# DESCRIPTION PARAMÉTRIQUE DU FAISCEAU

## ■ Espace de phase à 4D (x, x', y, y')

■ Position des particules : (x, y)

■ Angle du vecteur vitesse : (x'=dx/dz, y'=dy/dz)

## ■ Ellipse de concentration :

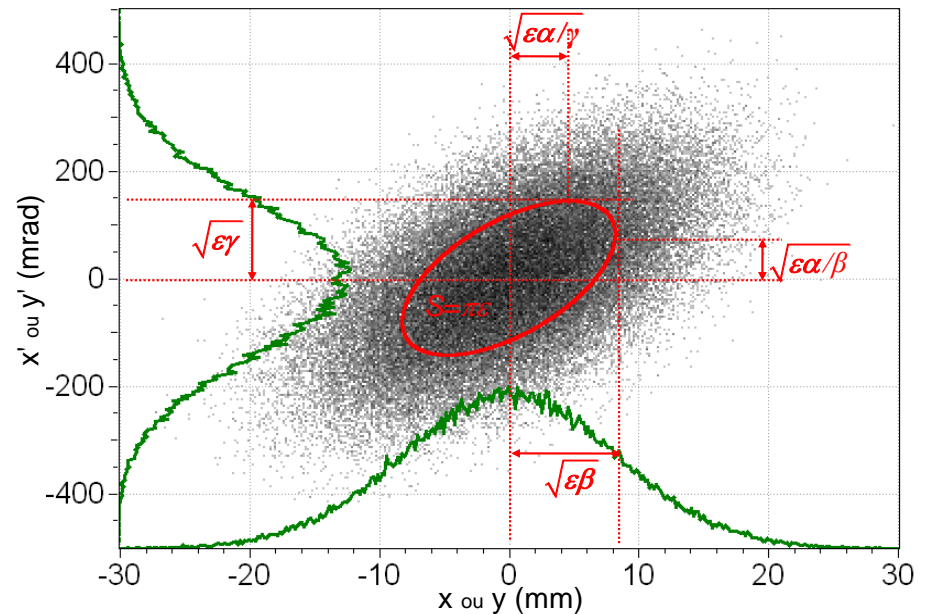
$$\langle X^2 \rangle = \varepsilon\beta$$

$$\langle X'^2 \rangle = \varepsilon\gamma$$

$$\langle XX' \rangle = \varepsilon\alpha$$

$$\varepsilon = \sqrt{\langle X^2 \rangle \langle X'^2 \rangle - \langle XX' \rangle^2}$$

Distribution construite avec TraceWin : Gaussienne tronquée à 6 $\sigma$ ,  $\varepsilon = 10$ ,  $\alpha = -0.7$ ,  $\beta = 0.07$

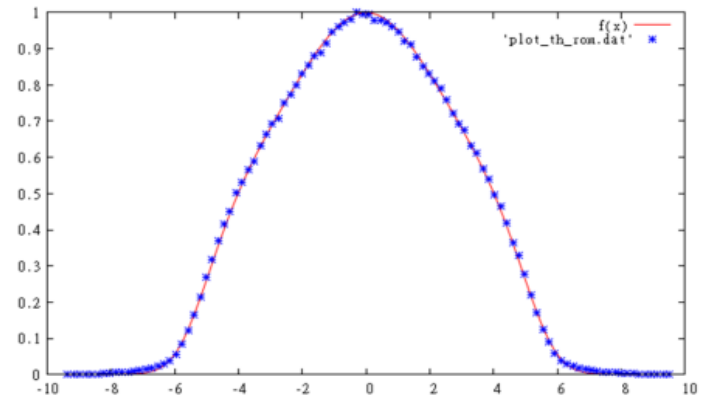
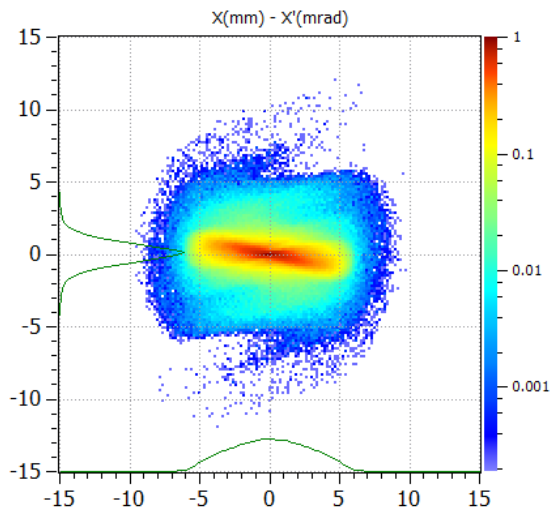


Paramètres de Twiss :  $\alpha$ ,  $\beta$ ,  $\gamma$

Emittance :  $\varepsilon$

- Fit des projections de la densité de particules avec :
  - Une somme de gaussienne et de gaussienne généralisée

$$y = \frac{1}{2} \left[ e^{-\left| \frac{x}{a} \right|^b} + e^{-\left( \frac{x}{c} \right)^2} \right]$$



## Les paramètres utilisés

- On cherche à représenter le faisceau (l'ensemble des particules) avec :
  - Les paramètres des ellipses de concentration  $\alpha$ ,  $\beta$ ,  $\varepsilon$  projetés sur les plans  $(x, x')$ ,  $(y, y')$
  - Les paramètres des profils de densité  $a$ ,  $b$ ,  $c$  projeté sur les directions  $x$ ,  $x'$ ,  $y$ ,  $y'$
  
- Au total : 18 paramètres.

Axe x	$a_x$	$b_x$	$c_x$
Axe x'	$a_x'$	$b_x'$	$c_x'$
Plan xx'	$\alpha_x$	$\beta_x$	$\varepsilon_x$
Axe y	$a_y$	$b_y$	$c_y$
Axe y'	$a_y'$	$b_y'$	$c_y'$
Plan yy'	$\alpha_y$	$\beta_y$	$\varepsilon_y$

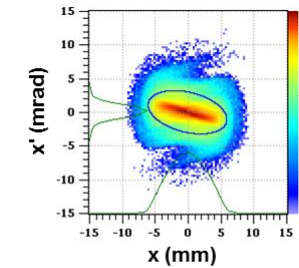
# MÉTHODE DE VARIATION DES GRADIENTS (AMÉLIORÉE)

# MÉTHODE DE VARIATION DES GRADIENTS (AMÉLIORÉE)

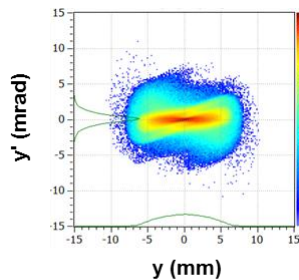
- Possible avec la puissance nominale du faisceau
- Sans interception
- Permet de décrire le faisceau dans l'espace de phase à 4D



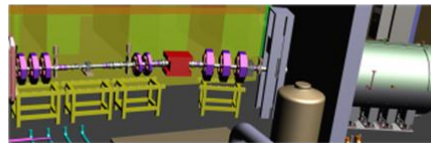
Méthode de variation des gradients



Distribution inconnue  
>Paramètres d'entrée

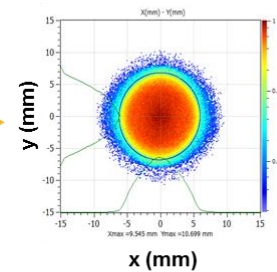


Distribution inconnue  
>Paramètres d'entrée



Variation de G sur l'accélérateur

Minimum 3 Gradients



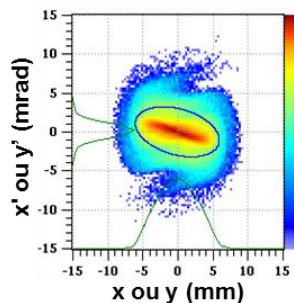
Profil faisceau mesuré

6 Paramètres mesurés  
par Gradient

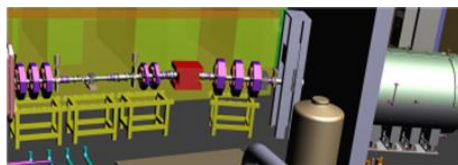
18 Paramètres à déterminer



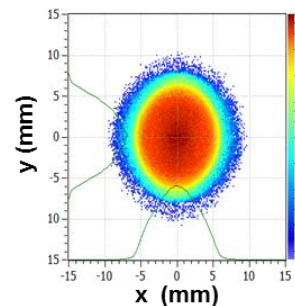
# MÉTHODE DE VARIATION DES GRADIENTS (AMÉLIORÉE)



Distribution inconnue  
> Paramètres d'entrée



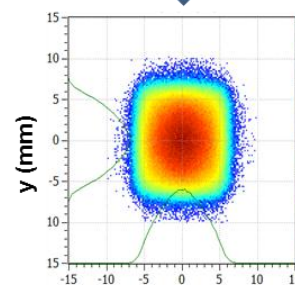
Variation de G sur l'accélérateur



Profil faisceau mesuré



Comparaison des courbes



Profil faisceau simulé

Valeurs initiales  
> Paramètres initiaux



Modélisation du faisceau avec le code développé  
Variation de G par le code TraceWin

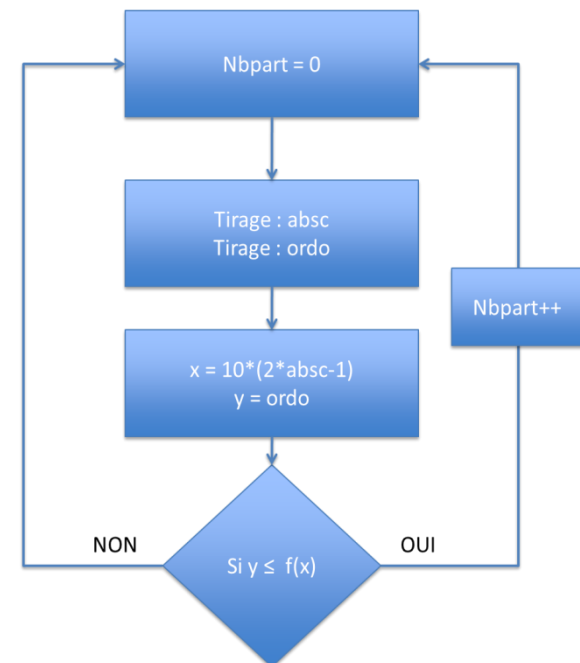
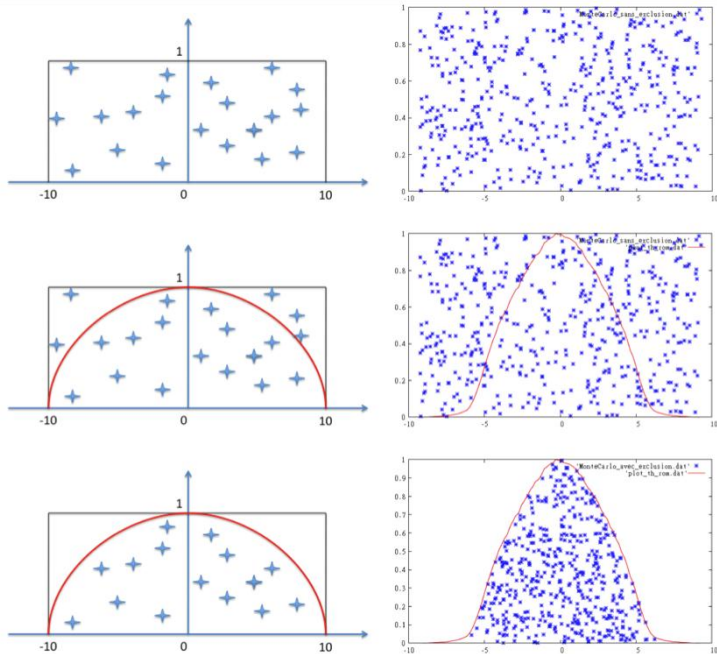
Nouvelles valeurs  
> Paramètres modifiés

# MODÉLISATION DU FAISCEAU

## Tirage selon une fonction de densité de probabilité

- Méthode de Monte Carlo
- Tirage aléatoire des particules
  - Tirage uniforme dans un rectangle
  - Condition de densité de probabilité fixée par la somme de gaussienne et de gaussienne généralisée

$$f(x) = \frac{1}{2} \left[ e^{-\frac{|x|}{a}} + e^{-\left(\frac{x}{c}\right)^2} \right]$$



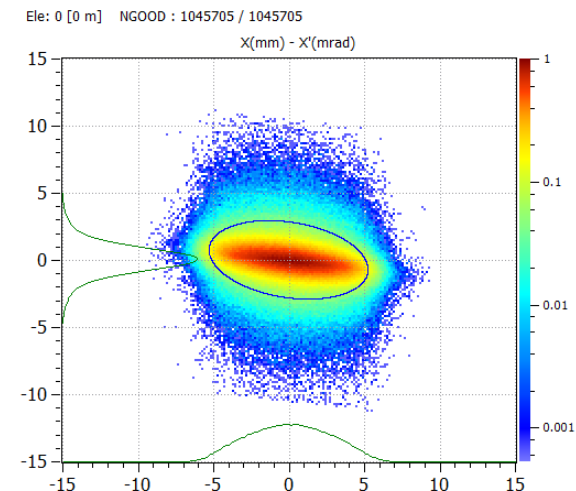
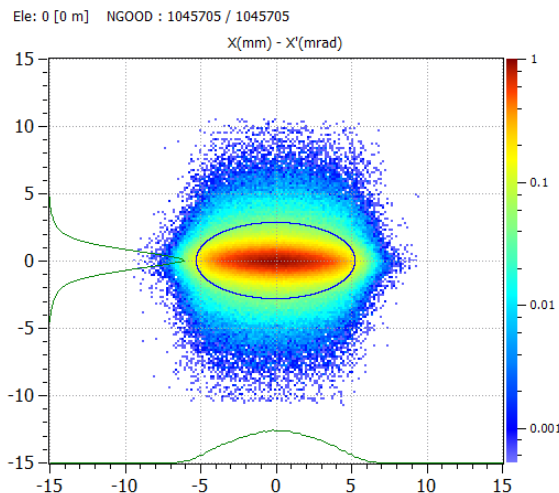
## Méthode de Cholesky

- Donner les bons paramètres à l'ellipse de concentration sans changer les projections
  - Paramètres de Twiss (Inclinaison, taille)

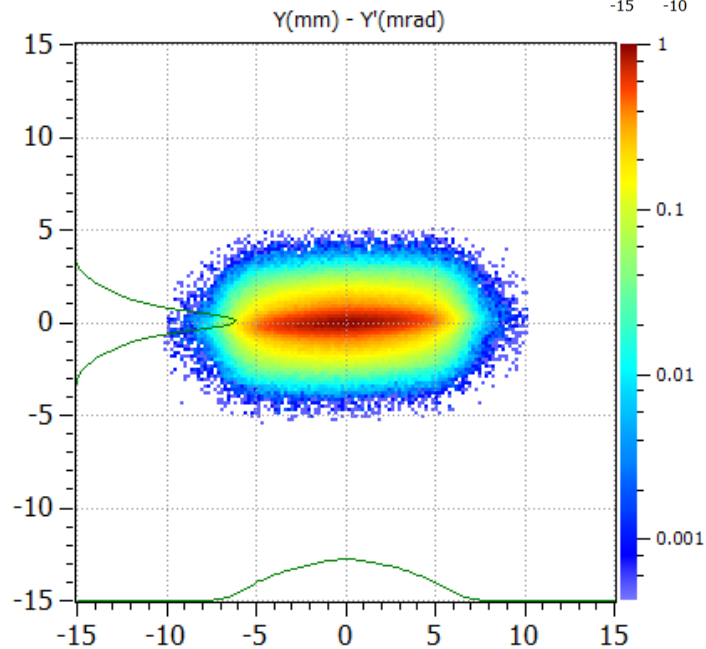
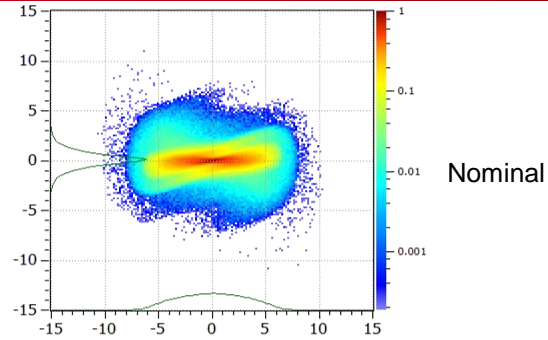
- Pour une matrice A (symétrique définie positive), on cherche la matrice triangulaire inférieure L tel que  $A=LL^T$

Matrice faisceau :

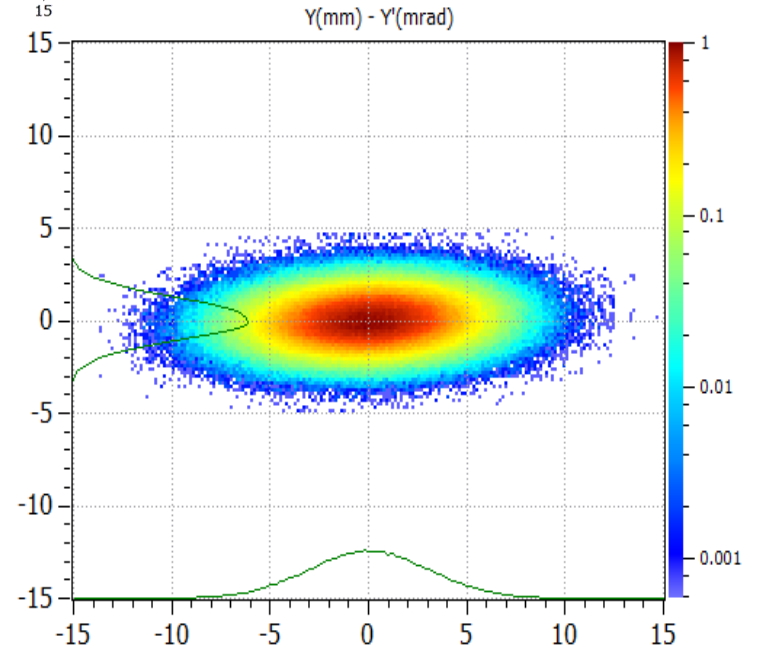
$$A = \begin{pmatrix} \beta_x \varepsilon_x & -\alpha_x \varepsilon_x & 0 & 0 & 0 & 0 \\ -\alpha_x \varepsilon_x & \gamma_x \varepsilon_x & 0 & 0 & 0 & 0 \\ 0 & 0 & \beta_y \varepsilon_y & -\alpha_y \varepsilon_y & 0 & 0 \\ 0 & 0 & -\alpha_y \varepsilon_y & \gamma_y \varepsilon_y & 0 & 0 \\ 0 & 0 & 0 & 0 & \beta_z \varepsilon_z & -\alpha_z \varepsilon_z \\ 0 & 0 & 0 & 0 & -\alpha_z \varepsilon_z & \gamma_z \varepsilon_z \end{pmatrix}$$



## Résultats



Somme :  $f(x) = \frac{1}{2} \left[ e^{-\frac{|x|}{a}} + e^{-\left(\frac{x}{c}\right)^2} \right]$



Gaussienne :  $f(x) = e^{-\left(\frac{x}{a}\right)^2}$

## Résultats

- Forme angulaire due à la fonction de densité de probabilité

Somme gaussienne et gaussienne généralisée

$$f(x) = \frac{1}{2} \left[ e^{-\frac{|x|}{a}^b} + e^{-\left(\frac{x}{c}\right)^2} \right] \quad g(y) = \frac{1}{2} \left[ e^{-\frac{|y|}{a'}^{b'}} + e^{-\left(\frac{y}{c'}\right)^2} \right]$$

$$\mathcal{N}(x) = \frac{1}{2} \left[ e^{-\frac{|x|}{a}^b} + e^{-\left(\frac{x}{c}\right)^2} \right] * \frac{1}{2} \left[ e^{-\frac{|y|}{a'}^{b'}} + e^{-\left(\frac{y}{c'}\right)^2} \right]$$

$$= \frac{1}{4} \left[ e^{-\frac{|x|}{a}^b - \frac{|y|}{a'}^{b'}} + e^{-\left(\frac{x}{c}\right)^2 - \left(\frac{y}{c'}\right)^2} + e^{-\frac{|x|}{a}^b - \left(\frac{x}{c}\right)^2} + e^{-\frac{|y|}{a'}^{b'} - \left(\frac{y}{c'}\right)^2} \right]$$

Gaussienne

$$f(x) = e^{-\left(\frac{x}{a}\right)^2} \quad g(y) = e^{-\left(\frac{y}{a'}\right)^2}$$

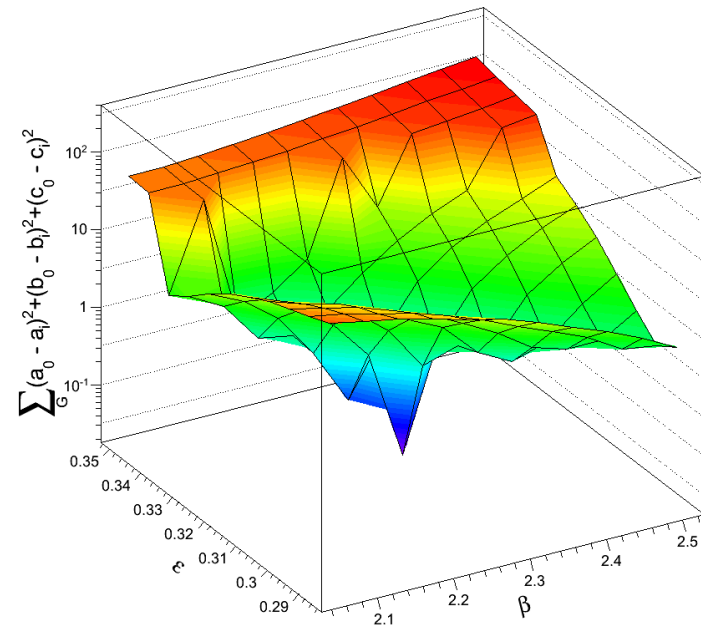
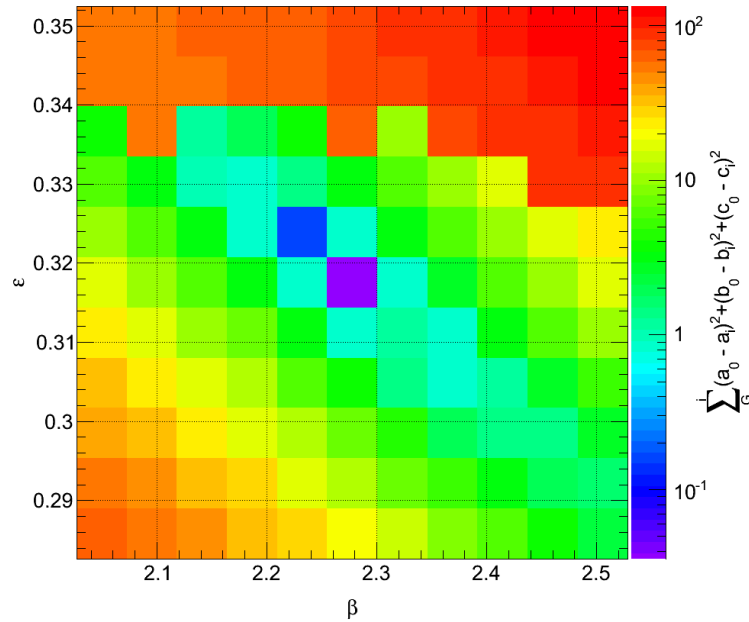
$$\mathcal{N}(x) = e^{-\left(\frac{x}{a}\right)^2} * e^{-\left(\frac{y}{a'}\right)^2} = e^{-\left(\frac{x}{a}\right)^2 - \left(\frac{y}{a'}\right)^2}$$

Ellipse :  $\frac{x^2}{a^2} + \frac{y^2}{b^2} = 1$

# **ETUDE DES PARAMÈTRES ET OPTIMISATION**

## Résultats

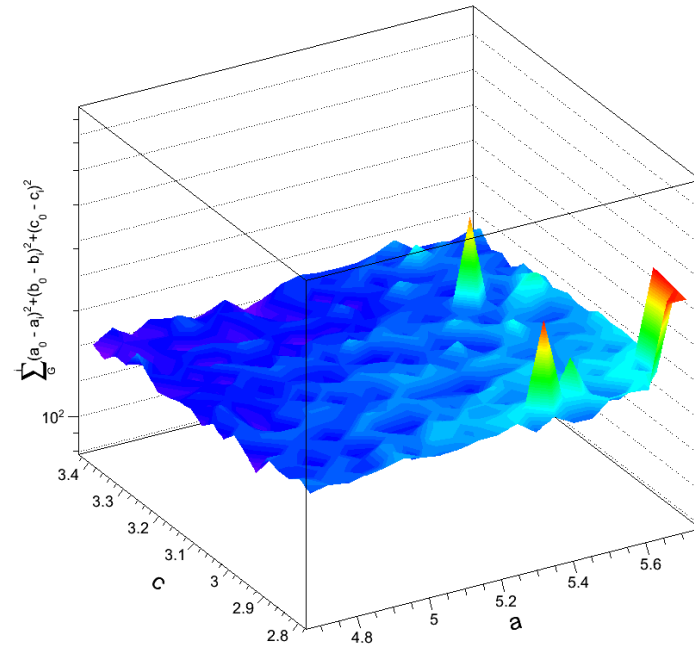
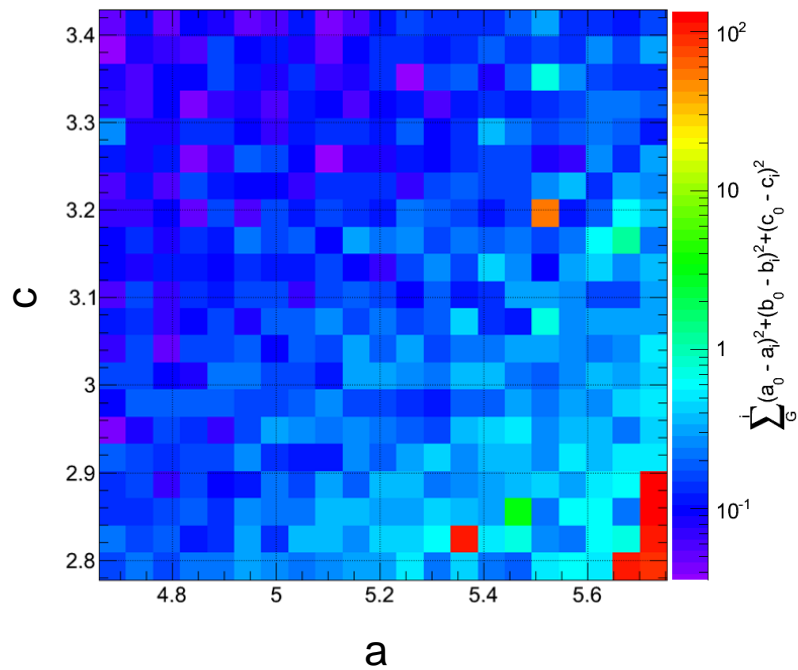
- Variation de beta et epsilon (avec alpha fixe et a, b, c fixes) dans le plan (xx') :





## Résultats

- Variation de  $a$  et  $c$  (avec  $b$  fixe et  $\varepsilon, \alpha, \beta$  fixes) du profil en  $x$ :



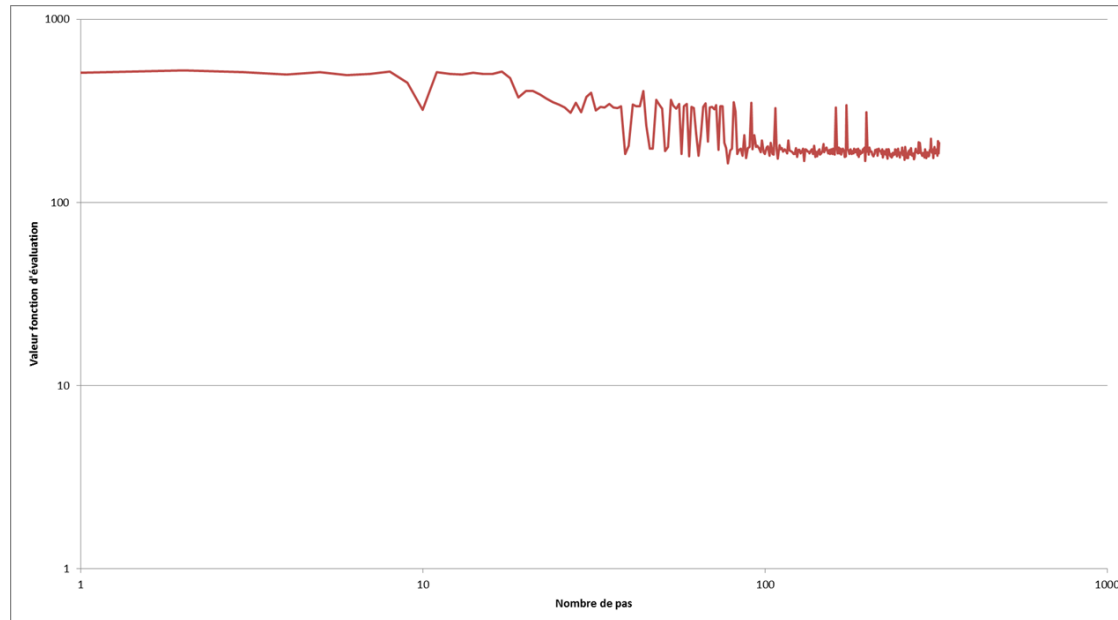
## Résultats

■ Algorithme d'optimisation : Simplex

■ Fonction à minimiser :

$$F = \sum_G (a_0 - a_i)^2 + (b_0 - b_i)^2 + (c_0 - c_i)^2$$

■ Après 300 itérations :

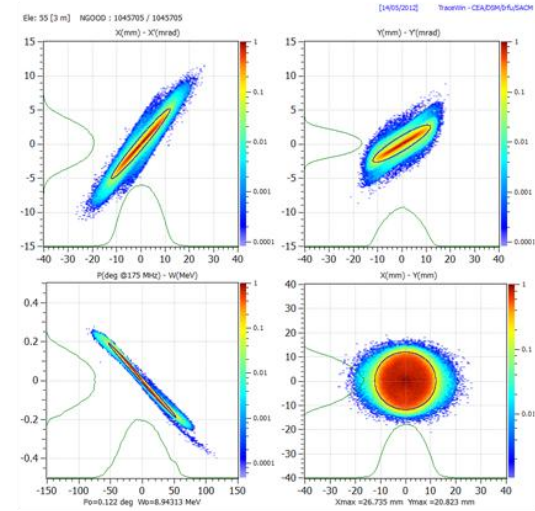
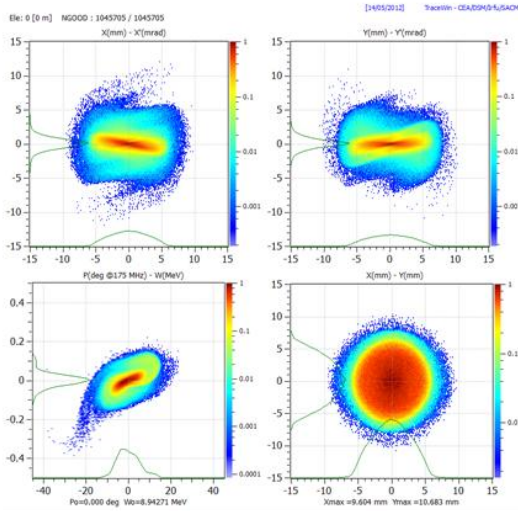


# ETUDE DES PARAMÈTRES ET OPTIMISATION

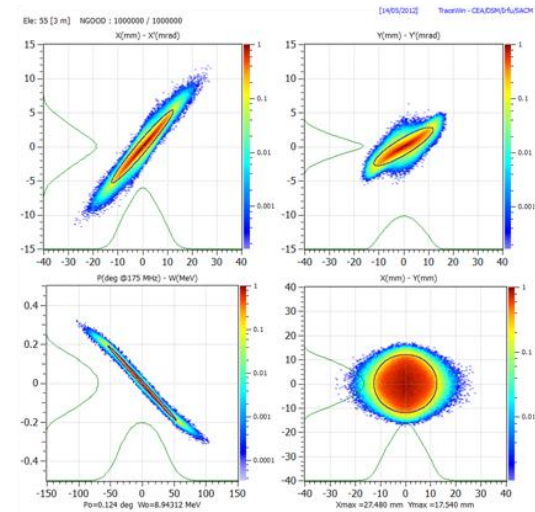
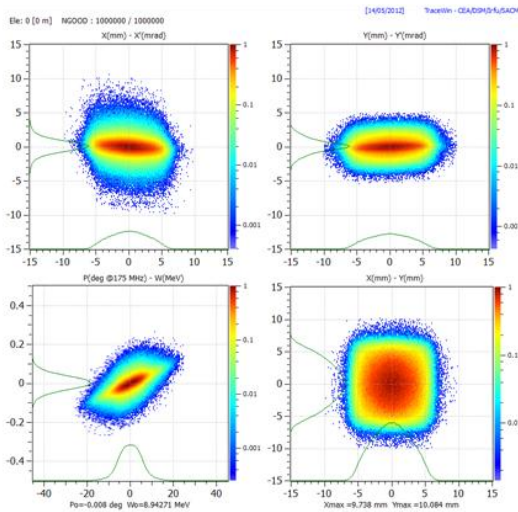
En entrée

En sortie

Nominal



Modélisation



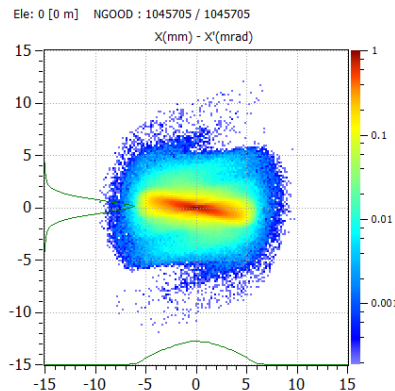
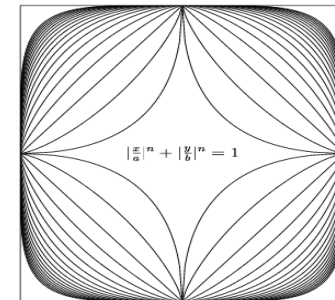
# MODÉLISATION DU FAISCEAU (2<sup>ÈME</sup> MÉTHODE)

## « super ellipse »

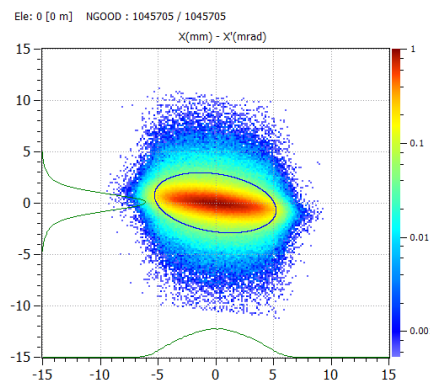
■ Courbes de Lamé :  $\left(\frac{x}{a}\right)^n \pm \left(\frac{y}{b}\right)^n = 1 \quad n > 0, a \text{ et } b \text{ non nuls}$

■ Cas particuliers, les super ellipses :

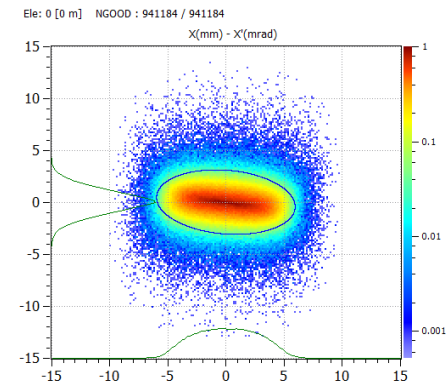
$$\left|\frac{x}{a}\right|^n \pm \left|\frac{y}{b}\right|^n = 1 \quad n > 2, a \text{ et } b \text{ non nuls}$$



Nominal



1ère Méthode



2nd Méthode

Merci pour votre attention

---

Commissariat à l'énergie atomique et aux énergies alternatives  
Centre de Saclay | 91191 Gif-sur-Yvette Cedex

Direction : DSM  
Institut : IRFU  
Service : SACM  
Laboratoire : LEDA

Etablissement public à caractère industriel et commercial | RCS Paris B 775 685 019